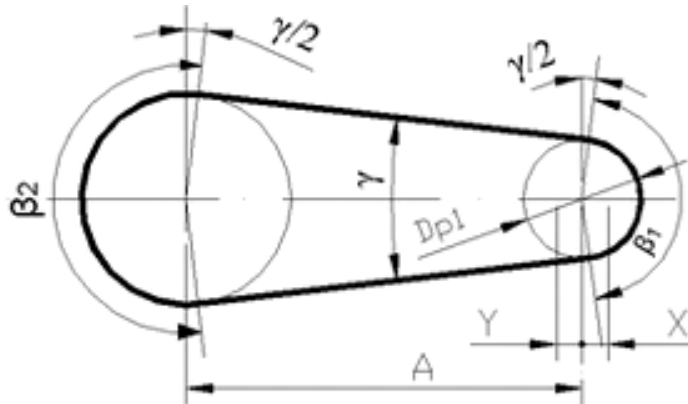


## 2. PROIECTAREA TRANSMISIEI PRIN CURELE TRAPEZOIDALE

Acest tip de transmisie se realizează între arbori paraleli, are în construcție cel puțin două roți pe care se înfășoară elementul intermediar elastic (cureaua) montată cu pretensionare (forță de întindere inițială), fiind recomandată pentru distanțe mari între axele de rotație ale elementului conducerător și cel condus.

Principalele *elemente geometrice ale transmisiei prin curea* sunt reprezentate în figura 2.1.



**Fig. 2.1** Elementele geometrice ale transmisiei prin curea

Elementul intermediar elastic (cureaua) este solicitat la *tracțiune* (datorită forțelor din ramura activă și cea pasivă) și la *încovoiere* (datorită înfășurării curelei pe roțile de curea).

**Proiectarea unei transmisii prin curea** cuprinde două *etape* principale:

- calculul transmisiei prin curea - constă în:
  - alegerea tipului și dimensiunilor curelei;
  - determinarea elementelor geometrice;
  - stabilirea vitezei și a numărului de curele;
  - determinarea forțelor;
- construcția roților de curea - constă în:
  - stabilirea dimensiunilor nominale;
  - stabilirea preciziei de execuție;
  - întocmirea desenelor de execuție.

### 2.1. Proiectarea transmisiei prin curele trapezoidale

#### 2.1.1. Alegerea tipului de curea

**Tipul de curea** se alege din nomograme în funcție de puterea de calcul  $P_c$  și turăția arborelui conducerător  $n_i$ , știind că roata de curea conducerătoare se montează direct pe axul de ieșire al motorului.

Din categoria curelelor trapezoidale se pot alege curele **clasice** (figura 2.2) sau **înguste** (figura 2.3).

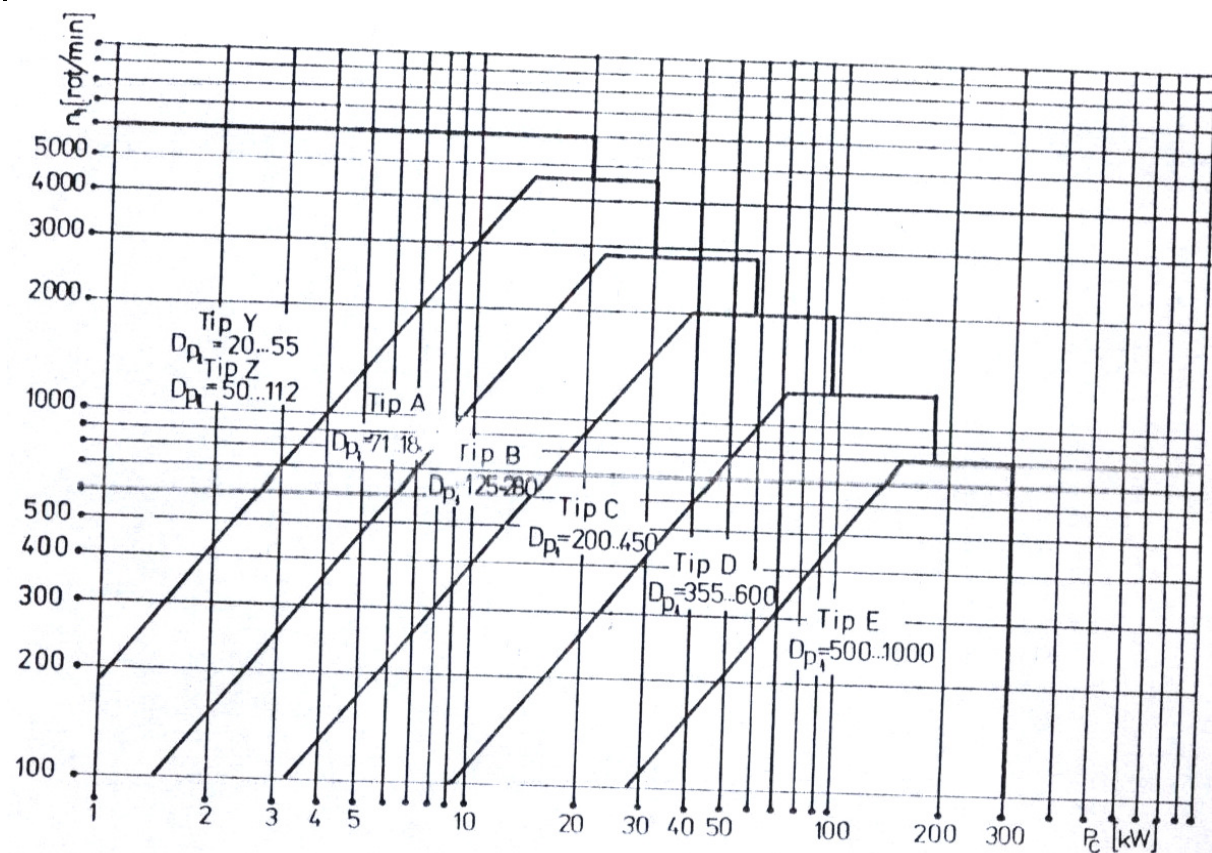


Fig. 2.2 Alegerea curelei trapzoidale clasice

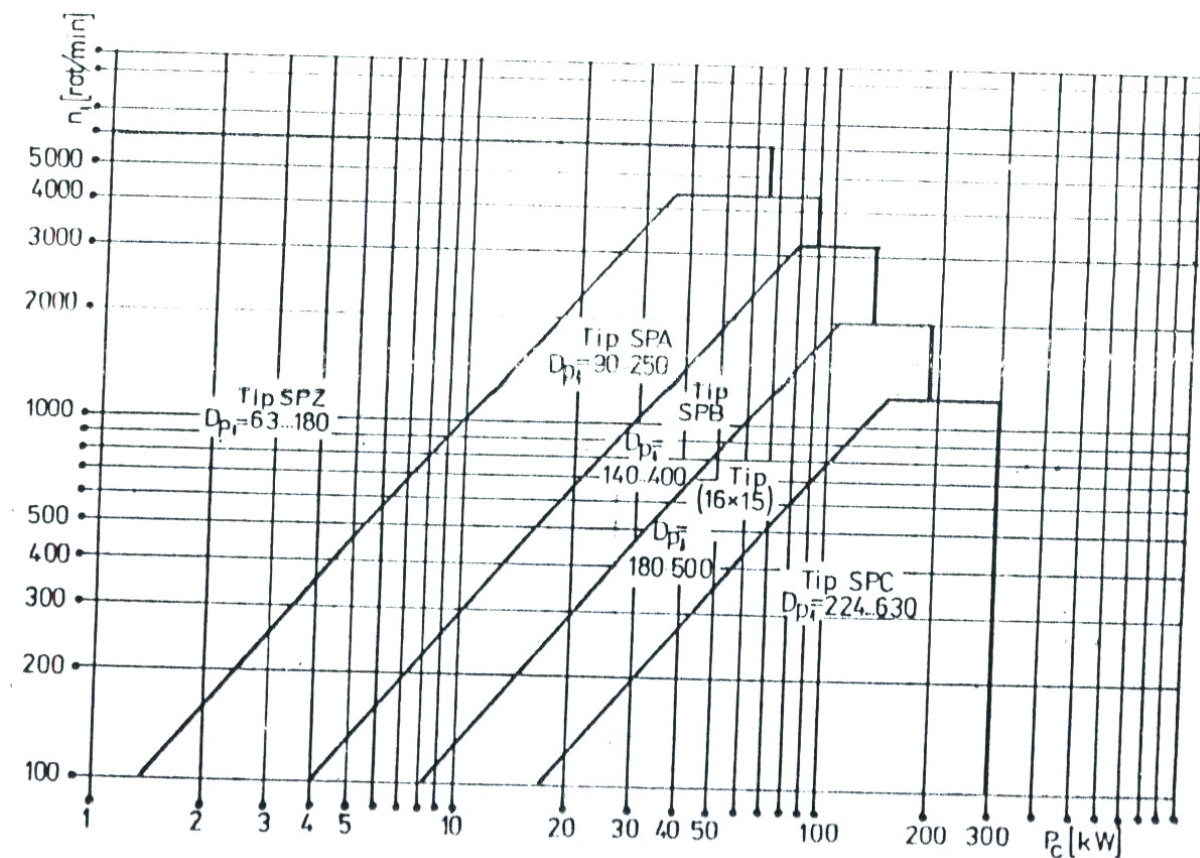
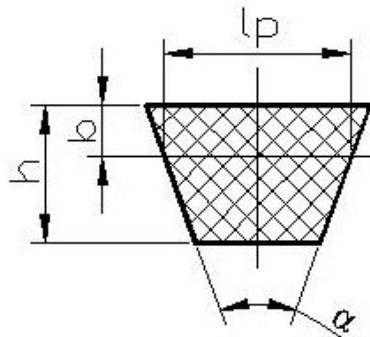


Fig. 2.3 Alegerea curelei trapezoidale înguste

**Dimensiunile și abaterile limită ale secțiunii curelei trapezoidale înguste** sunt date în figura 2.4 și tabelul 2.1, conform STAS 7192 -65.



**Fig. 2.4 Dimensiunile secțiunii curelei trapezoidale**

**Tabelul 2.1**

Tipul curelei $l_p \times h$	$l_p$	$h$	$b_{\max}$	$\alpha$
<b>SPZ (8,5 x 8)</b>	8,5	$8 \pm 0,4$	2	$40^\circ \pm 1^\circ$
<b>SPA (11 x 10)</b>	11	$10 \pm 0,5$	2,8	
<b>SPB (14 x 13)</b>	14	$13 \pm 0,5$	3,5	
<b>(16 x 15)</b>	16	$15 \pm 0,5$	4	
<b>SPC (19 x 18)</b>	19	$18 \pm 0,6$	4,8	

#### **Observații:**

- Nu este permisă folosirea curelei înguste (16 x 15) în construcții noi.
- Simbolurile dimensiunilor din fig. 2.5 și tabelul 2.2 au următoarele semnificații:
  - $l_p$  - lățimea primitivă, egală cu lățimea în dreptul fibrelor primitive, care nu se comprimă și nu se întind în timpul funcționării curelei; lățimea primitivă este o dimensiune funcțională de bază a curelei, determinând poziția ei în canalul roții de curea și deci raportul de transmitere realizat;
  - $h$  - înălțimea curelei trapezoidale;
  - $b$  - distanța de la latura superioară a curelei la fibrele primitive;
  - $\alpha$  - unghiul curelei trapezoidale, format de cele două laturi neparalele ale secțiunii ei.
- Înălțimea efectivă  $b$  și lățimea laturilor paralele ale secțiunii se stabilesc de producător, în limitele determinate prin valorile  $b_{\max}$  și  $h$  date în tabelul 2.2.

#### **2.1.2. Calculul transmisiei prin curele trapezoidale**

Acest calcul este reglementat prin **STAS 1163 - 71** pentru transmisii care funcționează în mediu ambiant normal, iar **algoritmul de calcul** este prezentat în tabelul 2.2.

**Tabelul 2.2**

Poz.	Denumirea parametrului	Simbol	U.M.	Relația de calcul, observații	Exemplu
<b>A.</b>	<b>Date inițiale</b>				
1.	Puterea de calcul la arborele conducător	$P_c$	kW	$P_c = P$	
2.	Turația roții de curea conducătoare	$n_i$	rot/min		2800
3.	Raportul de transmitere	$i_{tc}$	-	ales anterior (impus) : $i_{tc} = n_i / n_I$	2
4.	Regimul de lucru al transmisiei	-	-	- tipul masinii motoare ; - tipul masinii antrenate ; - numarul de ore de funcționare din 24 ore ; - regimul dinamic	
<b>B.</b>	<b>Calculul geometric</b>				1400
1.	Turația roții conduse	$n_I$	rot/min	$n_I = n_i / i_{tc}$	
2.	Tipul curelei	-	-	se alege din nomograme : - trapezoidală clasică - fig. 2.2 - trapezoidală îngustă - fig. 2.3	SPZ
3.	Diametrul primitiv al roții mici	$D_{p1}$	mm	Se alege constructiv funcție de tipul curelei, respectând prescripțiile din STAS 1162 - 67 (tabelul . ).	100
4.	Diametrul primitiv al roții mari	$D_{p2}$	mm	$D_{p2} = i_{tc} \cdot D_{p1}$	200
5.	Distanța dintre axe preliminară	$A_p$	mm	$0,7 \cdot (D_{p1} + D_{p2}) \leq A_p \leq 2 \cdot (D_{p1} + D_{p2})$	350
6.	Unghiul dintre ramurile curelei	$\gamma$	grade	$\gamma = 2 \cdot \arcsin\left(\frac{D_{p2} - D_{p1}}{2 \cdot A}\right)$	16,4
7.	Unghiul de înfășurare la roata mică	$\beta_1$	grade	$\beta_1 = 180^0 - \gamma$	163,6
8.	Unghiul de înfășurare la roata mare	$\beta_2$	grade	$\beta_2 = 180^0 + \gamma$	196,4
9.	Lungimea primitivă a curelei	$L_p$ $L_{pSTAS}$	mm mm	$L_p = 2 \cdot A \cdot \sin\left(\frac{\beta_1}{2}\right) + \frac{\pi}{360} \cdot (\beta_1 \cdot D_{p1} + \beta_2 \cdot D_{p2})$ Valoarea calculată se rotunjește la cea mai apropiată valoare standardizată din tabelul 2.4 funcție de tipul curelei.	1178 1120

**Tabelul 2.2 (continuare)**

Poz.	Denumirea parametrului	Simbol	U.M.	Relația de calcul, observații	Exemplu
9.	Lungimea primitivă a curelei	$L_p$ $L_{pSTAS}$	mm mm	$L_p = 2 \cdot A \cdot \sin\left(\frac{\beta_1}{2}\right) + \frac{\pi}{360} \cdot (\beta_1 \cdot D_{p1} + \beta_2 \cdot D_{p2})$ Valoarea calculată se rotunjește la cea mai apropiată valoare standardizată din tabelul .5. funcție de tipul curelei.	1178 1120
10.	Distanța dintre axe recalculată	A	mm	$A = \frac{L_{pS} - \frac{\pi}{360}(\beta_1 \cdot D_{p1} + \beta_2 \cdot D_{p2})}{2 \cdot \sin\left(\frac{\beta_1}{2}\right)}$	320
C.	<b><u>Calculul cinematic</u></b>				
1.	Viteza periferică a curelei	v	m/s	$v = \frac{\pi \cdot D_{p1} \cdot n_1}{60 \cdot 1000}$	14,7
2.	Coeficientul de funcționare	$c_f$	-	Se stabilește din tabelul 2.3	1.2
3.	Coeficientul de lungime	$c_L$	-	Se stabilește din tabelul 2.4	0,93
4.	Coeficientul de înfașurare	$c_\beta$	-	Se stabilește din tabelul 2.5	0,96
5.	Puterea nominală transmisă de o curea	$P_0$	kW	Se alege în funcție de tipul curelei din tabelele 2.7...2.11	4,40
6.	Numărul de curele preliminar	$z_0$	-	$z_0 = \frac{c_f \cdot P_c}{c_L \cdot c_\beta \cdot P_0}$	4,28
7.	Coeficientul numărului de curele	$c_z$	-	Se alege din tabelul 2.6	0.90
8.	Numarul definitive de curele	z	-	$z = \frac{z_0}{c_z}$ . Se recomandă : $z \leq 8$	4,75 se ia : 5
9.	Numărul de roți	x	-	Rezultă constructiv	2
D.	<b><u>Calculul de rezistență</u></b>				
1.	Frecvența încovoierilor curelei	f	Hz	$f = \frac{10^3 \cdot x \cdot v}{L_{pSTAS}}$	
2.	Forța periferică transmisă	F	N	$F = 10^3 \cdot \frac{P_c}{v}$	955
3.	Forța de întindere a curelei	$F_0$	N	$F_0 = (1,5...2) \cdot F$	1430 ... 1910
4.	Cotele de modificare a distanței dintre axe	X Y		$X \geq 0,03 L_p$ $Y \geq 0,015 L_p$ - numai la transmisiile fără role de întindere	$\geq 37,5$ $\geq 18,8$

**Coeficientul de functionare  $c_f$**

**Tabelul 2.3**

Felul incarcarii si tipul masinii actionate		Tipul masinii de actionare a transmisiei								
Felul incarcarii	Tipul masinii	motor de c.a monofazat sau trifazat, cu pornire prin autotransformator sau cu conexoare stea triunghi - motor de c.c in paralel -motor cu ardere interna cu 4 sau mai multi cilindrii -turbina cu $n < 600$ rot/min			-motor de c.a cu moment de pornire ridicat -motor de c.c compound -masini cu abur sau motor cu aredere interna cu 2 sau 3 cilindri			-motor de c.a cu rotorul in scurtcircuit, cu pornire directa sau cu dubla colivie de neverita - motor de c.c tip serie -motor cu ardere interna cu un cilindru		
		Numarul de ore de lucru al transmisiei din 24 ore								
		< 8	8-16	16-24	< 8	8-16	16-24	< 8	8-16	16-24
$c_f$										
Moment de pornire pana la 120% din momentul moninal Regim de lucru aproape constant	<ul style="list-style-type: none"> <li>- Generatoare electrice usoare</li> <li>- Pompe si compresoare centrifugale</li> <li>- Transportoare cu banda</li> <li>- Strunguri, masini de gaurit si alezat</li> <li>- Ventilatoare</li> <li>- Separatoare</li> <li>- Site usoare</li> </ul>	1.0	1.1	1.4	1.1	1.2	1.5	1.2	1.4	1.6
Moment de pornire pana la 150% din monental nominal Variatii neinsemnante ale regimului de lucru	<ul style="list-style-type: none"> <li>- Generatoare electrice</li> <li>- Pompe cu piston si compresoare cu 3 simai multi cilindrii</li> <li>- Ventilatoare</li> <li>- Transportoare cu lant , elevatoare</li> <li>- Masini de frezat, strunguri revolver, ferastratie disc pt lemn, transmisii</li> <li>- Masini pt industriile: alimentara, textile si hartie</li> <li>- Site grele , cuptoare rotative</li> </ul>	1.1	1.2	1.5	1.2	1.4	1.6	1.3	1.5	1.7
Moment de pornire pana la 200% monental nominal Variatii insemnante ale regimului de lucru	<ul style="list-style-type: none"> <li>- Pompe cu piston, compresoare cu 1-2 cilindrii</li> <li>- Ventilatoare grele, transportoare elicoidale sau cu cupe</li> </ul>	1.2	1.3	1.6	1.3	1.5	1.7	1.4	1.6	1.0

	<ul style="list-style-type: none"> <li>- Dezintegratoare</li> <li>- Masini de rabotat, mortezat si polizat</li> <li>- Prese cu surub si cu excentric, cu volant relativ greu</li> <li>-Masini de tesut si egrenat bumbac</li> </ul>									
Moment de pornire pana la 300% din momentul nominal Regim de lucru alternativ si socuri	<ul style="list-style-type: none"> <li>- Masini de ridicat, excavat si dragat</li> <li>- Prese cu surub si cu excentric, cu volant relativ usor</li> <li>- Foarfeci mecanice, ciocane pneumatice</li> <li>-Mori cu bile, cu pietre, cu valturi</li> <li>- Concasoare si malaxoare</li> </ul>	1.3	1.5	1.7	1.4	1.6	1.8	1.5	1.7	2.0

### ***Coeficientul de lungime $c_L$***

**Tabelul 2.4**

Lungimea rimitive $L_p$ [mm]	Tipul curelei										
	Curele clasice						Curele inguste				
	Y	Z	A	B	C	D	E	SPZ	SPA	SPB	16×15
	$c_L$										
400	1,06	0,79									
450	1,08	0,80									
500	1,11	0,81									
560	1,14	0,82									
630		0,84	0,81				0,82				
710		0,86	0,83				0,84				
800		0,90	0,85				0,86	0,81			
900		0,92	0,87				0,88	0,83			
1000		0,94	0,89	0,84			0,90	0,85			
1120		0,95	0,91	0,86			0,93	0,87			
1250		0,98	0,93	0,88			0,94	0,89	0,82		
1400		1,01	0,96	0,90			0,96	0,91	0,84		
1600			0,99	0,93			1,00	0,93	0,86	0,85	
1700			1,00	0,94			1,01	0,94	0,87	0,86	
1800			1,01	0,95	0,86		1,01	0,95	0,88	0,87	
2000			1,03	0,98	0,88		1,02	0,96	0,90	0,89	
2240			1,06	1,00	0,91		1,05	0,98	0,92	0,91	0,83
2500			1,09	1,03	0,93		1,07	1,00	0,94	0,93	0,86
2800				1,05	0,95		1,09	1,02	0,96	0,94	0,88
3150				1,07	0,97	0,86		1,11	1,04	0,98	0,96
3550				1,09	0,99	0,88		1,13	1,06	1,00	0,97
3750				1,11	1,00	0,90			1,07	1,01	0,98
4000				1,13	1,02	0,91			1,08	1,02	0,99
4500				1,15	1,04	0,93			1,09	1,04	1,00
5000				1,18	1,07	0,96	0,92			1,06	1,03

5600				1,20	1,09	0,98	0,95			1,08	1,05	1,00
6300					1,12	1,01	0,97			1,10	1,07	1,02
7100					1,15	1,04	1,00			1,12	1,09	1,04
8000					1,18	1,06	1,02			1,14	1,10	1,06
9000					1,21	1,09	1,05			1,12	1,08	
10000					1,23	1,11	1,07			1,14	1,10	
11200						1,14	1,10				1,12	
12500						1,17	1,13				1,14	
14000						1,19	1,15					
16000							1,18					

*Coeficientul de înfășurare*  $c_\beta$

**Tabelul 2.5**

$\frac{D_{p1}-D_{p2}}{A}$	Unghiul de infasurare $\beta_1$ [ grade]	$c_\beta$
0.0	180	1.00
0.1	174	0.99
0.2	169	0.97
0.3	163	0.96
0.4	157	0.94
0.5	151	0.93
0.6	145	0.91
0.7	139	0.89
0.8	133	0.87
0.9	127	0.85
1.0	120	0.82
1.1	113	0.80
1.2	106	0.77
1.3	99	0.73
1.4	91	0.70
1.5	83	0.65

*Coeficientul numărului de curele*  $c_z$

**Tabelul 2.6**

Numărul de curele	$c_z$
2 ... 3	0,95
4 ... 6	0,90
peste 6	0,85





**Tabelul 2.8 (continuare)**

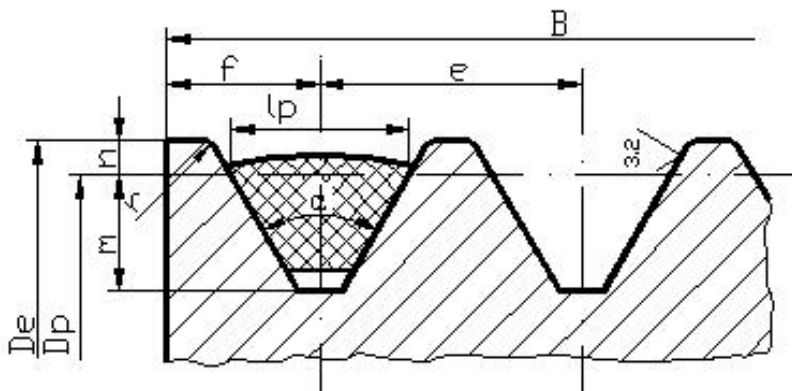
Diametrul primitiv al rotii mici $D_{p1}$ [mm]	Raportul de transmisie $i$	Turatia rotii mici $n_1$ [rot/min]																
		200	400	700	800	950	1200	1450	1600	2000	2400	2800	3200	3600	4000	4500	5000	5500
		$P_0$ [kW]																
180	1,00	1,29	2,37	3,89	4,36	5,03	6,09	7,06	7,65	8,90	9,94	10,67	11,11	11,11	10,82	9,79		
	1,05	1,30	2,44	3,97	4,45	5,14	6,23	7,24	7,80	9,13	10,23	10,97	11,48	11,55	11,26	10,30		
	1,20	1,35	2,49	4,05	4,54	5,25	6,37	7,43	8,02	9,35	10,52	11,33	11,85	12,00	11,70	10,82		
	1,50	1,37	2,53	4,14	4,64	5,36	6,51	7,58	8,17	9,57	10,74	11,63	12,22	12,36	12,22	11,33		
	$\geq 3,00$	1,39	2,58	4,22	4,72	5,47	6,65	7,73	8,39	9,86	11,04	11,99	12,58	12,80	12,66	11,55		
200	1,00	1,49	2,74	4,47	5,01	5,78	7,00	8,09	8,68	10,1	11,18	11,92	12,22	12,00	11,26			
	1,05	1,51	2,79	4,55	5,10	5,89	7,14	8,24	8,90	10,4	11,49	12,22	12,58	12,30	11,70			
	1,20	1,53	2,84	4,63	5,19	6,00	7,27	8,46	9,05	10,6	11,78	12,58	12,95	12,80	12,06			
	1,50	1,55	2,88	4,71	5,28	6,12	7,43	8,51	9,27	10,8	12,07	12,88	13,32	13,25	12,66			
	$\geq 3,00$	1,57	2,93	4,79	5,38	6,23	7,58	8,76	9,42	11,0	12,28	13,25	13,70	13,62	13,10			
224	1,00	1,71	3,16	5,15	5,78	6,67	8,02	9,27	10,0	11,5	12,58	13,17	13,10	12,44				
	1,05	1,73	3,22	5,23	5,86	6,78	8,17	9,49	10,1	11,8	12,98	13,47	13,47	12,88				
	1,20	1,75	3,26	5,31	5,96	6,89	8,32	9,64	10,4	12,0	13,17	13,76	13,87	13,25				
	1,50	1,78	3,30	5,39	6,05	6,99	8,46	9,79	10,5	12,2	13,39	14,13	14,20	13,69				
	$\geq 3,00$	1,80	3,35	5,47	6,14	7,09	8,51	9,93	10,7	12,4	13,69	14,42	14,57	14,13				
Viteza periferica $v$ [m/s]		5                    10                    15                    20                    30                    40																

### 2.1.3. Construcția roților de curea

Forma, dimensiunile și condițiile tehnice pentru geometria canalelor roților de curea trapezoidale sunt indicate în fig. 2.5 și tabelele 2.12, respectiv 2.13, conform **STAS 1162-84**.

**Tabelul 2.12**

Secțiunea canalului	Y	Z	A	B	C	D	E	(16)
Tipul curelei trapezoidale clasice (STAS 7192-67)	Y	Z	A	B	C	D	E	—
Tipul curelei trapezoidale înguste (STAS 7192-65)	—	SPZ	SPA	SPB	SPC	—	—	(16x15)



**Fig. 2.5 Geometria canalelor roții de curea trapezoidală**

**Tabelul 2.13**

Secțiune canal	Y	Z	A	B	C	D	E	(16)
$l_p$	5,3	8,5	11	14	19	27	32	16
$n$ min.	1,6	2,5	3,3	4,2	5,7	8,1	9,6	4,7
$m$ min.	4,7	9	11	14	19	19,9	23,4	16
$f$	$7 \pm 1$	$8 \pm 1$	$10_{-1}^{+2}$	$12,5_{-1}^{+2}$	$17_{-1}^{+2}$	$24_{-1}^{+3}$	$29_{-1}^{+4}$	$14,5_{-1}^{+2}$
$e$	$8 \pm 0,3$	$12 \pm 0,3$	$15 \pm 0,3$	$19 \pm 0,4$	$25,5 \pm 0,5$	$37 \pm 0,6$	$44,5 \pm 0,7$	$22 \pm 0,4$
$\alpha$	$36^\circ \pm 1^\circ$	$38^\circ \pm 1^\circ$	$38^\circ \pm 1^\circ$	$38^\circ \pm 1^\circ$	$38^\circ \pm 30'$	$38^\circ \pm 30'$	$38^\circ \pm 30'$	$38^\circ \pm 1^\circ$
	$32^\circ \pm 1^\circ$	$34^\circ \pm 1^\circ$	$34^\circ \pm 1^\circ$	$34^\circ \pm 1^\circ$	$36^\circ \pm 30'$	$36^\circ \pm 30'$	$36^\circ \pm 30'$	$36^\circ \pm 30'$
$r$	0,5	0,5	1,0	1,0	1,5	2,0	2,0	1,0

**Observații:**

- Simbolurile dimensiunilor din fig. 2.5 și tabelul 2.13 au următoarele semnificații:
  - $l_p$  - lățimea primitivă a canalului – egală cu lățimea primitivă a curelei respective – este dimensiunea de bază a ansamblului roată-curea și determină caracteristicile geometrice funcționale principale ale transmisiei;
  - $n$  - înălțimea canalului deasupra liniei primitive;
  - $m$  - adâncimea canalului sub linia primitivă;
  - $f$  - distanța dintre axa secțiunii canalului extrem și marginea vecină a roții;
  - $e$  - distanța dintre axele secțiunilor la două canale vecine;
  - $\alpha$  - unghiul canalului;
  - $r$  - raza de rotunjire a marginii canalului;
  - $D_p$  - diametrul primitiv al roții de curea reprezentând diametrul la care canalul are lățimea egală cu lățimea primitiva  $l_p$ ;
  - $D_e$  - diametrul exterior al roții;
  - $$D_e = D_p + 2 \cdot n ;$$
  - $B$  - lățimea totală a roții: 
$$B = (z-1) \cdot e + 2 \cdot f$$
 în care  $z$  este numărul de canale.

- Abaterile limită ale dimensiunii  $e$  sunt valabile pentru distanța dintre axele secțiunilor oricărora două canale ale roții de curea (consecutive sau neconsecutive).
- Dimensiunile necuprinse în fig. 2.5 și tabelul 2.13 se stabilesc prin documentația de execuție.

Diferența dintre înălțimile efective  $n$ , măsurate în același plan axial al canalelor succesive ale roții de curea, nu trebuie să depășească valorile indicate în tabelul 2.14

**Tabelul 2.14**

<b>Secțiunea canalului</b>	<b>Y</b>	<b>Z</b>	<b>A</b>	<b>B</b>	<b>(16)</b>	<b>C</b>	<b>D</b>	<b>E</b>
Diferența maximă dintre valorile efective $n$ în același plan axial [mm]				0,2		0,3	0,5	0,6

În scopul asigurării concentricității cercului primitiv, variația înălțimii efective  $n$  de-a lungul aceluiași canal nu trebuie să depășească valorile indicate în tabelul 2.15.

**Tabelul 2.15**

Diametrul primitiv	Variația maximă a valorii $n$ la același canal	Diametrul primitiv	Variația maximă a valorii $n$ la același canal
De la 20 până la 28	0,13	Peste 400 până la 500	0,40
Peste 28 până la 45	0,16	Peste 500 până la 630	0,44
Peste 45 până la 80	0,19	Peste 630 până la 800	0,50
Peste 80 până la 118	0,22	Peste 800 până la 1000	0,56
Peste 118 până la 180	0,25	Peste 1000 până la 1250	0,66
Peste 180 până la 250	0,29	Peste 1250 până la 1600	0,78
Peste 250 până la 315	0,32	Peste 1600 până la 2000	0,92
Peste 315 până la 400	0,36	Peste 2000 până la 2500	1,10

